

## ЛИТЕРАТУРА

1. Авдуевский В. С. и др. Проблемы космического производства.— М.: Машиностроение, 1980.
2. Технологические эксперименты в невесомости.— Свердловск: УНЦ АН СССР, 1983.
3. «Салют-6» — «Союз». Материаловедение и технология.— М.: Наука, 1985.
4. Гришин С. Д. и др. Исследование малых ускорений на борту орбитальной научной станции «Салют-6».— В кн.: Технологические эксперименты в невесомости.— Свердловск: УНЦ АН СССР, 1983.
5. Кущкова В. С. Численные методы исследования процессов тепло- и массопереноса. Учеб. пособие. Ч. 2.— М., 1976.

Поступила 30/XII 1985 г.

УДК 532.526

## МОДЕЛИРОВАНИЕ ПРОЦЕССОВ КРУПНОМАСШТАБНОГО ПЕРЕМЕШИВАНИЯ В РАСШИРЯЮЩЕЙСЯ СВЕРХЗВУКОВОЙ СТРУЕ

H. A. Желтухин, H. M. Терехова

(Новосибирск)

Существование в сверхзвуковых турбулентных струях крупномасштабных волн неустойчивости, осуществляющих процессы крупномасштабного перемешивания,— важный фактор, влияющий как на структуру потока, так и на процессы шумообразования в нем. Обнаружено, что в дозвуковых струях такие колебания могут приводить к образованию когерентных структур типа торов, простых и двойных спиралей, которые при дальнейшей своей эволюции приводят к генерации широкополосного шума и шумов, связанных с нелинейным развитием волн неустойчивости [1].

Для высокоскоростных струй подобных экспериментов из-за технической сложности их постановки крайне мало, поэтому многие аспекты взаимодействия потока и волн неустойчивости еще до конца не ясны [2, 3]. В этой ситуации нельзя недооценивать эффективность методов математического моделирования, которые могут способствовать пониманию определенных этапов такого взаимодействия. Для сверхзвуковых струй подобных работ еще не было.

Говоря о виде крупномасштабных волн, эволюционирующих в сверхзвуковом потоке, необходимо отметить, что наиболее важны из них возмущения, названные модой струйного столба, которые в своем развитии захватывают как слой смешения, так и потенциальное ядро. По сравнению с возникающей у корня струи модой сдвигового слоя они более энергонесущи, имеют широкий частотный спектр и более характерны для струи. Частотные и структурные формы таких волн достаточно хорошо изучены [4—6].

В работе исследуются процессы взаимодействия возмущений конечной интенсивности типа моды струйного столба с расчетной сверхзвуковой турбулентной осесимметричной холодной струей на ее начальном участке. Предполагается, что мелкомасштабная турбулентность находится в состоянии энергетического равновесия со средним течением и на его развитие влияния не оказывает. Рассматривается, какие изменения могут возникать в потоке под действием единичных волн разной спиральной формы (осесимметричных  $n = 0$  и азимутальных или спиральных  $n = 1$  и  $2$ ) и более сложных колебаний машущего типа (суперпозиция синхронизованных право- и левозакрученных спиралей  $n = \pm 1$  и  $\pm 2$ ).

Вектор средней скорости такого потока  $\mathbf{u} = |U_0, 0, W_0|$  имеет как радиальную  $U_0$ , так и продольную  $W_0$  компоненту. Здесь и далее употребляются безразмерные величины, обезразмеривание проведено делением на  $\bar{r}$  (начальный радиус) и  $\bar{W}$ ,  $\bar{\rho}$  (продольная скорость и плотность в ядре потока). В ядре струи ( $r < r_1 = 1 - \delta/2$ )  $\mathbf{u} = |0, 0, 1|$ , во внешнем поле ( $r > r_2 = 1 + \delta/2$ )  $\mathbf{u} = |0, 0, 0|$ , а в слое смешения толщиной  $\delta$  ( $r_1 \leq r \leq r_2$ ) продольная компонента аппроксимируется соотношением Шлихтинга [7]

$$W_0 = 1 - (1 - \eta^{1.5})^2, \quad \eta = (1 - r + \delta/2)/\delta, \quad 0 \leq \eta \leq 1.$$

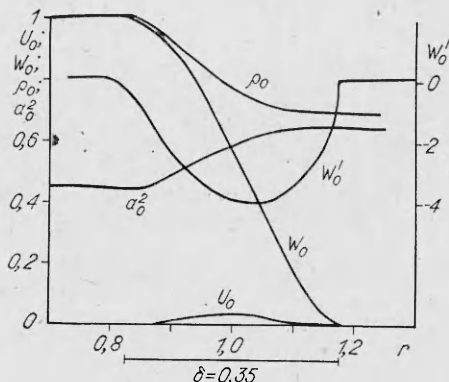


Рис. 1

найти радиальную компоненту  $U_0$  в слое смешения. Закон связи  $\delta$  и  $z$  ( $\delta = bz$ ,  $b = 0.135(1 + \rho_0(r_2))$ ) взят по соотношению, приведенному в [7]. На рис. 1 даны основные характеристики потока для  $M_0 = 1,5$  и  $\delta = 0,35$ . Спектральные характеристики и структурные формы волн неустойчивости

$$\{u'_r, u'_\varphi, u'_z, \rho', p', s'\}(r, \varphi, z, t) = \kappa \{iv, w, u, g, \Pi, s\}(r) e^{i\sigma_1},$$

$$\sigma_1 = \alpha z - \omega t + n\varphi,$$

где  $\kappa$  — амплитудный параметр, получены из линеаризованных уравнений, описывающих поведение малых возмущений в сжимаемой нетеплопроводной невязкой жидкости [8]. Как указано в [3], это приближение вплоть до интенсивностей волн  $\sim 8\%$  хорошо описывает форму и характеристики колебаний. Остается добавить, что также не учитывалось влияние на волну радиальной скорости  $U_0$  и зависимости  $\kappa(z)$ . Основанием для такого упрощения послужили результаты [5], где методами разных масштабов показано, что влияние этих факторов при малых сверхзвуковых скоростях ( $M_0 \sim 1,5$ ) преубежденно мало.

Простая волна конечной интенсивности индуцирует в потоке напряжения Рейнольдса, однородные по азимутальному углу  $\varphi$ , причем для осесимметричных колебаний  $u'_\varphi = 0$ . Выпишем некоторые из них (осреднение по фазовому пространству  $\sigma_1$ ):

$$\langle u'^2_r \rangle = \kappa^2 \langle v^2 \rangle \exp(-2\alpha_i z)/2, \quad \langle u'^2_\varphi \rangle = \kappa^2 \langle w^2 \rangle \exp(-2\alpha_i z)/2,$$

$$\langle u'_r u'_z \rangle = \kappa^2 \langle vu \rangle \exp(-2\alpha_i z)/2, \quad \langle \rho' u'_z \rangle = \kappa^2 \langle gw \rangle \exp(-2\alpha_i z)/2.$$

В угловых скобках записаны реальные части соответствующих комплексных амплитуд:

$$\langle vu \rangle = v_r u_i - v_i u_r, \quad \langle v^2 \rangle = v_r^2 + v_i^2.$$

Как правило, в области линейного роста право- и левосторонние азимутальные волны синхронизированы по амплитуде и фазе [3], поэтому их суперпозиция дает волну следующего вида:

$$\{u'_r, u'_z, \rho', p', s'\} = 2\kappa \{iv, u, g, \Pi, s\} e^{i\sigma_2} \cos n\varphi,$$

$$u'_\varphi = 2i\kappa v e^{i\sigma_2} \sin n\varphi, \quad \sigma_2 = \alpha z - \omega t.$$

Создаваемые такими машущими колебаниями напряжения Рейнольдса будут периодичны по азимутальному углу с периодом  $T = \pi/n$ , например:

$$\langle u'^2_r \rangle = 2\kappa^2 \langle v^2 \rangle \exp(-2\alpha_i z) \cos^2 n\varphi, \quad \langle u'^2_\varphi \rangle = 2\kappa^2 \langle w^2 \rangle \exp(-2\alpha_i z) \sin^2 n\varphi,$$

$$\langle u'_r u'_z \rangle = 2\kappa^2 \langle vu \rangle \exp(-2\alpha_i z) \cos^2 n\varphi, \quad \langle u'_r u'_\varphi \rangle = \kappa^2 \langle vw \rangle \exp(-2\alpha_i z) \sin 2n\varphi.$$

Распределение  $W_0$  — типичный невязко неустойчивый профиль с точкой перегиба в  $r = 1 + 0,10315\delta$ .

Для изобарической струи идеального сжимаемого газа можно воспользоваться известными газодинамическими формулами и выразить параметры потока через скорость  $W_0$  и число Маха на оси  $M_0$ :

$$\rho_0 = [0,2M_0^2(1-W_0^2) + 1]^{-1}, \quad a_0^2 = [\rho_0 M_0^2]^{-1},$$

а из уравнения неразрывности

$$\frac{\partial}{\partial r} r \rho_0 U_0 = -r \frac{\partial}{\partial z} \rho_0 W_0 \text{ при } U_0(r=r_1)=0$$

$\delta$	$z$	$\alpha_r$	$\alpha_i$	$\exp(-2\alpha_i z)$	$\alpha_r$	$\alpha_i$	$\exp(-2\alpha_i z)$	$\alpha_r$	$\alpha_i$	$\exp(-2\alpha_i z)$
		$n = 0$			$n = 1$			$n = 2$		
0,20	0,8768				1,7834	-0,9080	4,9147			
0,25	1,0960				1,8739	-0,8742	6,7957			
0,30	1,3152	1,8397	-0,7088	6,4525	1,9697	-0,8199	8,6413	2,0862	-0,8595	9,5902
0,35	1,5342	1,9200	-0,6292	6,8963	2,0643	-0,7377	9,6200	2,2026	-0,7390	9,6600
0,40	1,7536	1,9844	-0,5193	6,1803	2,1444	-0,6225	8,8735	2,2949	-0,5750	7,5131
0,45	1,9728	2,0131	-0,3848	4,5645	2,1900	-0,4785	6,6070	2,3349	-0,3765	4,4169
0,50	2,1920				2,1852	-0,3278	4,2084			

Эволюция среднего потока изучается на основе численного интегрирования системы осредненных уравнений движения (системы Эйлера), уравнений неразрывности и сохранения энтропии. В виде законов сохранения эта система записывается как

$$\frac{\partial F}{\partial t} + \frac{\partial K}{\partial r} + \frac{1}{r} \frac{\partial L}{\partial \varphi} + \frac{\partial N}{\partial z} + \frac{Q}{r} = 0,$$

где  $F = |\rho, \rho U, \rho V, \rho W, \rho S|$ ;

$$K = \begin{vmatrix} \rho U + \langle \rho' u'_r \rangle \\ \rho U^2 + P + \rho \langle u'^2_r \rangle + 2U \langle \rho' u'_r \rangle \\ \rho UV + \rho \langle u'_r u'_\varphi \rangle + U \langle \rho' u'_\varphi \rangle + V \langle \rho' u'_r \rangle \\ \rho UW + \rho \langle u'_r u'_z \rangle + U \langle \rho' u'_z \rangle + W \langle \rho' u'_r \rangle \\ \rho US + \rho \langle u'_r s' \rangle + U \langle \rho' s' \rangle + S \langle \rho' u'_r \rangle \end{vmatrix};$$

$$L = \begin{vmatrix} \rho V + \langle \rho' u'_\varphi \rangle \\ K [3] \\ \rho V^2 + P + \rho \langle u'^2_\varphi \rangle + 2V \langle \rho' u'_\varphi \rangle \\ \rho VW + \rho \langle u'_\varphi u'_z \rangle + V \langle \rho' u'_z \rangle + W \langle \rho' u'_\varphi \rangle \\ \rho VS + \rho \langle u'_\varphi s' \rangle + V \langle \rho' s' \rangle + S \langle \rho' u'_\varphi \rangle \end{vmatrix};$$

$$N = \begin{vmatrix} \rho W + \langle \rho' u'_z \rangle \\ K [4] \\ L [4] \\ \rho W^2 + P + \rho \langle u'^2_z \rangle + 2W \langle \rho' u'_z \rangle \\ \rho WS + \rho \langle u'_z s' \rangle + W \langle \rho' s' \rangle + S \langle \rho' u'_z \rangle \end{vmatrix};$$

$$Q = \begin{vmatrix} K [1] \\ K [2] - L [3] - F_1 \\ 2K [3] \\ K [4] - F_2 \\ K [5] \end{vmatrix};$$

$F_1, F_2$  — эквивалент вязких сил, осуществляющих растекание струи. Численное интегрирование осуществлено по схеме Мак-Кормака (явная разностная схема второго порядка [9]). В качестве начальных брались распределения  $U_0, W_0, \rho_0$ , а также  $V_0 = 0, P_0 = 1, S_0 = -\ln(\rho_0)$ .

Для расчета выбран вариант значений параметров потока и волн, удобный для численного интегрирования в пределах поставленной цели выяв-

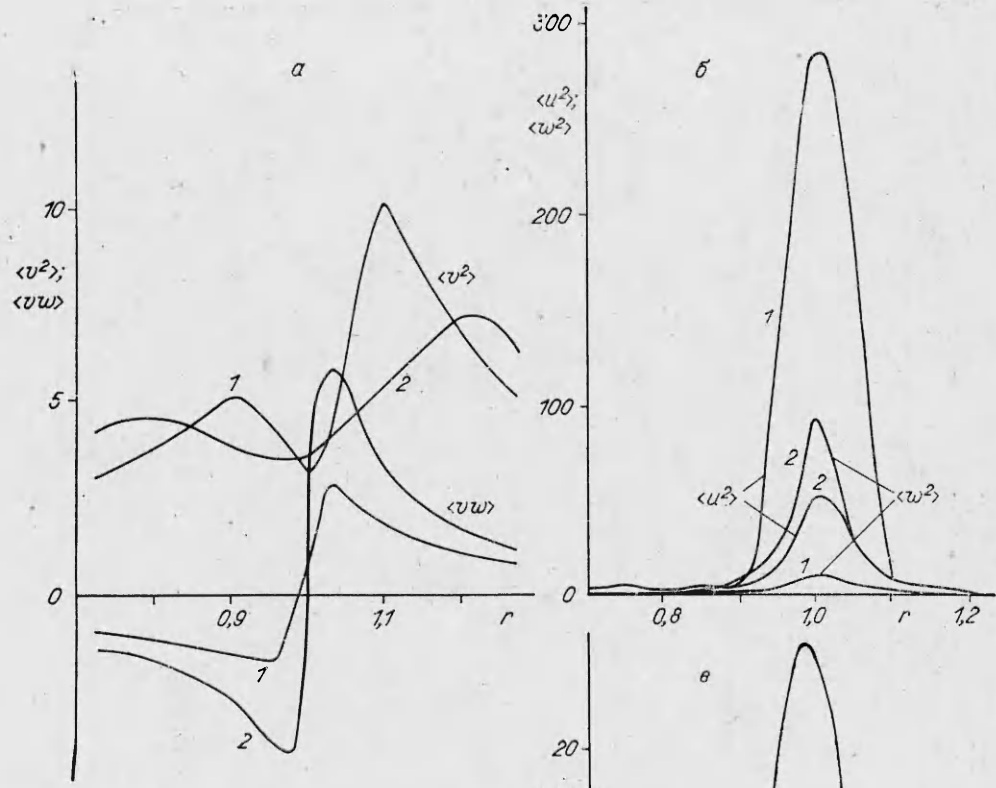


Рис. 2

ления качественных особенностей структуры расширяющегося потока. Это, во-первых, режим низких сверхзвуковых скоростей  $M_0 = 1,5$ , что позволило ограничиться линейным приближением при расчете волн, во-вторых, умеренные частоты  $Sh = 0,4$  ( $Sh = \omega r / \pi \bar{W}$ ) из области наиболее неустойчивых для данного числа Маха, в-третьих, диапазон толщин слоя смешения  $0,2 \leq \delta \leq 0,5$ , в пределах которого волны растут, достигают насыщения и начинают затухать, и, наконец, значение  $\kappa = 0,005$  при данной нормировке волны ( $\max |\Pi| = 1$ ) дает ее интенсивность  $< 10\%$  от средней скорости  $\bar{W}_0$ .

В таблице приведены значения параметров, используемых в расчете.

На рис. 2 показаны амплитудные функции некоторых компонент напряжений Рейнольдса для предельных значений  $\delta = 0,2$  и  $0,5$  (линии 1 и 2 соответственно) возмущений машущего типа  $n = \pm 1$  (а — амплитуды  $\langle v^2 \rangle$  и  $\langle vw \rangle$ , б —  $\langle w^2 \rangle$  и  $\langle u^2 \rangle$ , в —  $\langle vu \rangle$  и  $\langle wu \rangle$ ). Вниз по потоку из-за уменьшения градиентов средних скоростей в слое смешения, как правило, происходит сглаживание соответствующих амплитудных функций напряжений, за исключением величин, связанных с компонентой  $u_\varphi$ .

Такой характер поведения дополнительных членов системы приводит к тому, что в ней трудно выделить главные члены, влияющие на процессы перераспределения при разных  $\delta$ .

Рассмотрим действие единичных волн. На рис. 3 в виде дефекта скорости  $\Delta W = W - W_0$  показаны изменения, которые может претерпевать под действием волн продольная составляющая среднего профиля в одном из сечений ( $z = \text{const}$ ) в момент времени  $t = 0,2$ . Видно, что на профиле возникает однородный для всех углов  $\varphi$  валок или гребень, который можно рассматривать как начальную форму зарождающейся вторичной структуры потока. Все изменения скорости имеют место в слое смешения, на рис. 3 дано сечение  $\delta = 0,35$ , в котором они максимальны. Динамика роста деформации находится в полном соответствии с данными таблицы — она увеличивается от начального сечения, достигает максимума при  $\delta = 0,35$  и далее вниз по потоку начинает убывать согласно  $\exp(-2\alpha_i z)$ . При равенстве амплитудного параметра  $\kappa$  волны спиральных мод вызывают большую деформацию поля скорости  $W$ , которая увеличивается с ростом азимутального числа  $n$ .

Единичные осесимметричные колебания, у которых  $u_\varphi' = 0$ , не индуцируют тангенциальную составляющую  $V$ , для спиральных мод она появляется.

Сложнее деформируются скорости под действием машущих колебаний, здесь четко прослеживаются азимутальные зависимости, повторяемость их определяется величиной  $n$ ; так, для  $n = \pm 1$  период повторения есть  $T = \pi/2$ , а для  $n = \pm 2$   $T = \pi/4$ . Типичная картина изменения  $W$  в исследованной области  $\delta$  приведена на рис. 4 ( $\delta = 0,2; 0,35; 0,5$  —  $a$  —  $\vartheta$ ) для  $n = \pm 1$ ;  $\varphi = 0, \pi/4, \pi/2$  (линии 1—3) в момент  $t = 0,5$ . Динамика деформации  $W$  вниз по потоку отражает продольную эволюцию волны и уменьшение средних градиентов, а тангенциальные изменения связаны с начальной периодичностью волн и напряжений Рейнольдса по  $\varphi$ . Такая волна создает в потоке валки и впадины, соответственно разгоняя и подтормаживая его в разных азимутальных положениях. Это схематично отражено здесь же. В некоторых азимутальных положениях возникает и азимутальное движение массы газа, для рассматриваемых параметров в

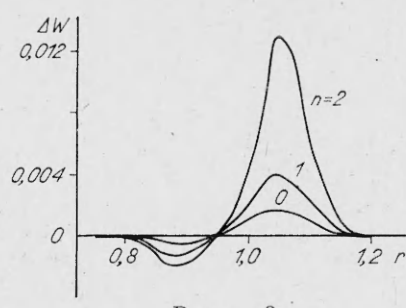


Рис. 3

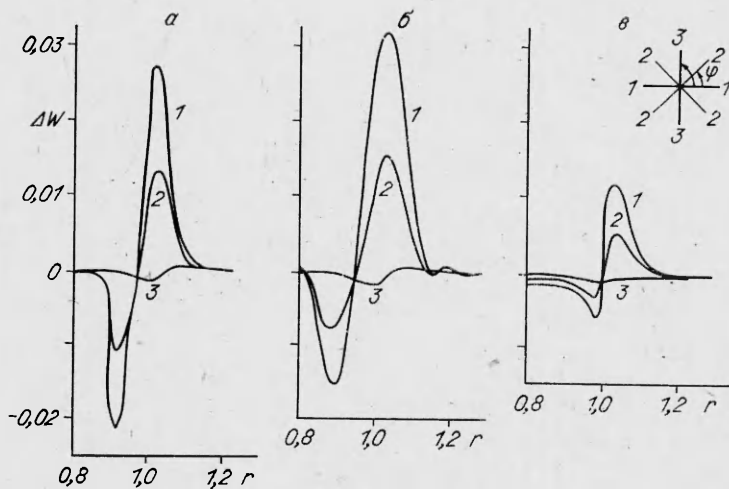


Рис. 4

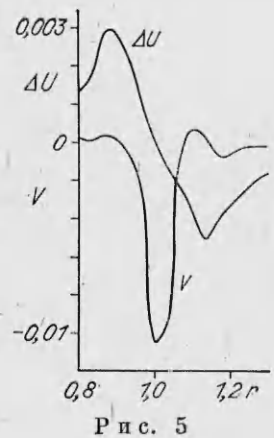


Рис. 5

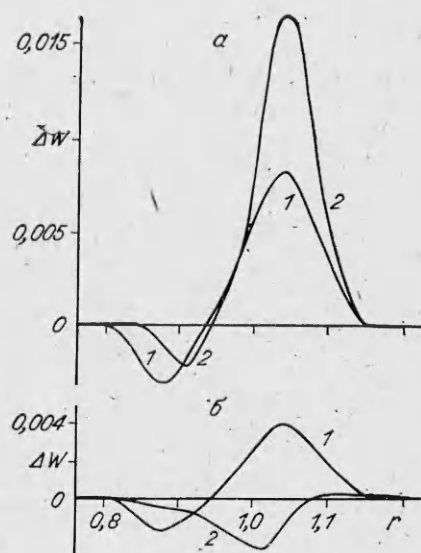


Рис. 6

положениях 1 и 3 оно отсутствует, полностью маскируемое радиальным растеканием, а в положениях 2 оно максимально. Это приводит к небольшому подкручиванию потока, максимальный угол отклонения вектора скоростей  $U$  и  $V$  достигает  $10-13^\circ$ . Представление о такой добавочной деформации полей  $U$ ,  $V$  дает рис. 5, где показаны скорость  $V$  и дефект  $\Delta U = U - U_0$  в положении  $\delta = 0,35$ ,  $\varphi = \pi/4$  для того же момента времени.

На рис. 6 приведены сравнительные деформации, производимые модами  $n = \pm 1$  и  $+2$  (линии 1, 2) в разных азимутальных положениях  $\varphi = 0$  и  $\pi/4$  (α, β) при том же  $\delta$  и  $t = 0,1$ . Так же как и для единичных колебаний, максимальные изменения связаны с волнами более высоких азимутальных мод, хотя действие последних из-за их большой периодичности более локально. Подобные же изменения претерпевают и характеристики  $\rho$  и  $S$ . Таким образом, волны машущего типа могут вызывать в слое смещения сложное перераспределение массы, которое приводит к более сложной вторичной структуре потока в области действия волн конечной амплитуды.

Как правило, в спектре естественно возбужденной струи идентифицируют возмущения, состоящие из осесимметричных  $n = 0$  и машущих  $n = \pm 1$  колебаний [3], а их действие на поток, зависящее от амплитуд и качественного состава волн, будет слагаться из более простых действий, рассмотренных выше.

Проведенное численное моделирование показывает, что крупномасштабные колебания конечной интенсивности приведут к конечным деформациям характеристик потока. Подобные деформации могут быть обнаружены тщательными и целенаправленными экспериментальными замерами в разных азимутальных плоскостях. Несомненно, появление такой тонкой вторичной структуры в потоке должно сказываться и на производстве шума струей.

#### ЛИТЕРАТУРА

- Hussain A. K. Coherent structures — reality and myth.— Phys. Fluids, 1983, v. 26, N 10.
- Crighton D. G. Acoustics as a branch of fluid mechanics.— J. Fluid Mech., 1981, v. 106. Рус. пер. Современная гидродинамика. Успехи и проблемы.— М.: Мир, 1984.
- Моррисон Г. Л., Маклафлин Д. К. Неустойчивость сверхзвуковых струй при не больших числах Рейнольдса.— РТК, 1970, т. 18, № 7.
- Соболев А. В. Неустойчивость высокоскоростных струй.— В кн.: Газодинамика и физическая кинетика. Новосибирск: ИТПМ СО АН СССР, 1974.
- Morris P. J., Tait C. K. W. Near and far fields noise from large-scale instability of axisymmetric jets. AIAA — paper, 1977, N 77—1351.

6. Терехова Н. М. Характеристики устойчивости сверхзвуковой струи в спутном потоке.— Изв. СО АН СССР. Сер. техн. наук, 1986, вып. 1, № 4.
7. Абрамович Г. Н. Теория турбулентных струй.— М.: Наука, 1969.
8. Бетчов Р., Криминале В. Вопросы гидродинамической устойчивости.— М.: Мир, 1971.
9. MacCormack R. W. The effects of viscosity in hyper-velocity impact cratering. AIAA — paper, 1969, N 69—534.

Поступила 29/VII 1985 г.

УДК 537.517.14

## ЭКСПЕРИМЕНТАЛЬНОЕ ИССЛЕДОВАНИЕ ОСЕСИММЕТРИЧНОГО БЕЗЫМПУЛЬСНОГО ТУРБУЛЕНТНОГО СТРУЙНОГО ТЕЧЕНИЯ

*H. B. Алексеенко, B. A. Костомаха*

(*Новосибирск*)

Приведена дополнительная экспериментальная информация о бессдвиговой турбулентности, изучаемой в опытах [1—5] (плоское течение) и [6—9] (осесимметричное). В [1, 2] для этой цели использовались две расположенные в одной плоскости сетки из тонкой ткани со специально оформленным зазором между ними, в [3] — решетка из, расположенных с разным шагом в одной плоскости поперечно обтекаемых пластин, в [4] — состоящая из двух частей гидродинамическая решетка с разными диаметром стержней и шагом между ними, в [5] — специально подобранная комбинация из плоских пластин и сопел.

Осесимметричное в среднем бессдвиговое турбулентное течение имеет место на некотором удалении от обтекаемого потоком тела, сопротивление которого компенсируется гидродинамическим движителем. В [6] тело представляло собой диск, сопротивление которого уравновешивалось импульсом струи, выдуваемой вдоль оси симметрии течения, в [7] вместо диска использовалось кольцо, в [8, 9] — удобообтекаемое тело, сила сопротивления которого компенсировалась струей или винтом.

Анализируя эти данные, можно установить, что конкретный способ внесения возмущения сильно влияет на дальнейшую эволюцию турбулентного течения — факт, имеющий принципиальное значение при математическом моделировании турбулентности. В связи с этим большой интерес представляют экспериментальные результаты, полученные при иных, чем в [6—9], начальных условиях, в частности при генерации турбулентности телом, более удобообтекаемым, чем в [6, 7], но менее чем в [8, 9]. Одно из «классических» тел такой формы — сфера, которая и использовалась в настоящей работе.

Опыты выполнялись в низкотурбулентной аэrodинамической трубе с закрытой рабочей частью длиной 4 м и характерным размером поперечного сечения  $0,4 \times 0,4$  м с треугольными вставками в углах. В начале рабочей части на четырех вольфрамовых проволочках диаметром 0,1 мм закреплялась сфера диаметром  $D = 25$  мм, насаженная на трубку с наружным диаметром 8 и внутренним 6 мм. Схема установки приведена на рис. 1, где 1 — трубка, по которой из магистрали высокого давления через редуктор подавался воздух с контролируемым расходом, 2 — растяжки, 3 — сфера, 4 — рабочая часть аэrodинамической трубы; показана используемая далее неподвижная цилиндрическая система координат, начало которой расположено на задней кромке сферы.

Изучались как функции пространственных координат осредненная скорость, статическое давление, все компоненты тензора рейнольдсовых напряжений и спектральная плотность флуктуаций продольной компоненты скорости. Для этого использовался комплекс термоанемометрической аппаратуры фирмы DISA с однониточным и двухниточным датчиками, а также трубки полного и статического давлений. Измерения проводились по показанным на рис. 1 штриховыми линиями направлениям, где отсутствовало влияние растяжек. Измерениями охвачена область  $5 \leqslant x/D \leqslant 100$ , а по координате  $r/D$  — вся зона возмущенного движения.

Статистический анализ сигналов термоанемометра осуществлялся автоматизированной системой обработки данных HISTOMAT-S фирмы Intertechnique. Чувствительный элемент датчика термоанемометра изготавливается из платинированной вольфрамовой проволочки диаметром 0,005 и длиной 1,25 мм (однониточный датчик) или 1,5 мм (двух-